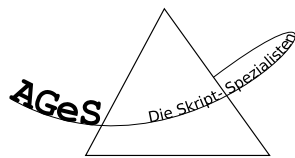


Theoretische Elektrodynamik

(Kompendium)

Herausgegeben von



Jeffrey Kelling
Felix Lemke
Stefan Majewsky

Stand: 23. Oktober 2008

Inhaltsverzeichnis

Elektrodynamik im Vakuum	3
Grundgrößen	
Maxwellgleichungen im Vakuum	
Ausgewählte Folgerungen	
Erhaltungssätze	
Elektromagnetische Potentiale, Mathematische Hilfsmittel	4
Elektromagnetische Potentiale	
Eichtransformationen	
Greensche Funktion	
Bestimmung von Vektorfeldern	
Elektrostatik	5
Punktladung	
Elektrischer Dipol	
Elektrischer Quadrupol	
Allgemeine ruhende Ladungsverteilung	
Magnetostatik	6
Stromfaden	
Magnetischer Dipol	
Allgemeine ruhende Stromverteilung	
Relativistische Elektrodynamik	7
Operatoren	
Grundgrößen und -gleichungen	
Relativistische Mechanik	
Transformation von Feldern	
Matrixdarstellungen	
Zeitabhängige elektromagnetische Felder	8
Retardierte Potentiale	
Multipolentwicklung eines Strahlungsfeldes	
Liénard-Wiechert-Potentiale	
Elektrodynamik in Materie	9
Materialgrößen	
Maxwellgleichungen in Materie	
Wichtige Folgerungen	
Grenzbedingungen	
Stromkreise	10
Bauteilparameter	
Sätze für Stromkreise	
Kapazität	

Im gesamten Kompendium wird das Gauss'sche Maßsystem verwendet.

Grundgrößen

- Ladungsdichte $\rho(\vec{r}, t)$ und Stromdichte $\vec{j}(\vec{r}, t) = \rho \cdot \vec{v}$
- elektrisches und magnetisches Feld: $\vec{E}(\vec{r}, t)$ und $\vec{B}(\vec{r}, t)$
- Lorentz-Kraft: $\vec{K} = q \left(\vec{E} + \frac{1}{c} \cdot \vec{v} \times \vec{B} \right)$, Kraftdichte: $\vec{k} = \rho \cdot \vec{E} + \frac{1}{c} \cdot \vec{j} \times \vec{B}$

Maxwellgleichungen im Vakuum

$\text{rot } \vec{E} = -\frac{1}{c} \cdot \frac{\partial \vec{B}}{\partial t}$	Faradaysches Induktionsgesetz
$\text{div } \vec{E} = 4\pi \cdot \rho$	Gaußsches Durchflutungsgesetz
$\text{rot } \vec{B} = \frac{1}{c} \cdot \frac{\partial \vec{E}}{\partial t} + \frac{4\pi}{c} \cdot \vec{j}$	Durchflutungsgesetz von Oersted und Ampère
$\text{div } \vec{B} = 0$	Ausschluss magnetischer Monopole

Ausgewählte Folgerungen

- Kontinuitätsgleichung: $\frac{\partial \rho}{\partial t} + \text{div } \vec{j} = 0$
- in einer Leiterschleife induzierte Spannung: $U_{\text{ind}} = -\frac{1}{c} \cdot \frac{d}{dt} \iint_S \vec{B} \cdot d\vec{f} = \oint_{C(S)} \left(\vec{E} + \frac{1}{c} \cdot \vec{v} \times \vec{B} \right) \cdot d\vec{r}$

Erhaltungssätze

- Energiebilanz: $\frac{d}{dt} \iiint_V w \, dV + \iiint_V \vec{j} \cdot \vec{E} \, dV = - \iint_{S(V)} \vec{S} \cdot d\vec{f}$
- Impulsbilanz: $\frac{d}{dt} (\vec{p}_{\text{mech}} + \vec{p}_{\text{elm}}) = \sum_{i,k} \vec{e}_i \cdot \iiint_V \frac{\partial}{\partial x_k} T_{ik} \, dV = \sum_{i,k} \vec{e}_i \cdot \iint_{S(V)} T_{ik} \cdot (\vec{e}_k \cdot d\vec{f}) = \iint_{S(V)} \vec{t} \, d\vec{f}$
- Drehimpulsbilanz: $\iiint_V (\vec{r} \times \vec{k}) \, dV + \frac{d}{dt} \iiint_V (\vec{r} \times \frac{\vec{S}}{c^2}) \, dV = \iint_{S(V)} (\vec{r} \times \vec{t}) \, d\vec{f}$

Hierbei sind:

- $w = \frac{\vec{E}^2 + \vec{B}^2}{8\pi}$ die Energiedichte des elektrischen und magnetischen Feldes
- $\vec{S} = \frac{c}{4\pi} \cdot \vec{E} \times \vec{B}$ der Poynting-Vektor
- \vec{p}_{mech} mit $\frac{d}{dt} \vec{p}_{\text{mech}} = \iiint_V \vec{k} \, dV$ der mechanische Impuls
- $\vec{p}_{\text{elm}} = \frac{1}{c^2} \cdot \iiint_V \vec{S} \, dV$ der elektromagnetische Impuls
- \overleftrightarrow{T} der Maxwellsche Spannungstensor mit den Komponenten $T_{ik} = \frac{1}{4\pi} \cdot \left(E_i E_k - \frac{1}{2} \delta_{ik} \vec{E}^2 + B_i B_k - \frac{1}{2} \delta_{ik} \vec{B}^2 \right)$
- $\vec{t} = \frac{1}{4\pi} \cdot \left[\vec{E} \cdot (\vec{E} \cdot \vec{e}_f) - \frac{1}{2} \vec{E}^2 \cdot \vec{e}_f + \vec{B} \cdot (\vec{B} \cdot \vec{e}_f) - \frac{1}{2} \vec{B}^2 \cdot \vec{e}_f \right]$ mit dem Flächennormaleneinheitsvektor \vec{e}_f

Elektromagnetische Potentiale

- Vektorpotential $\vec{A}(\vec{r}, t)$ und skalares („elektrostatisches“) Potential $\varphi(\vec{r}, t)$
- magnetisches Feld: $\vec{B} = \text{rot } \vec{A}$
- elektrisches Feld: $\vec{E} = -\text{grad } \varphi - \frac{1}{c} \cdot \frac{\partial \vec{A}}{\partial t}$

Eichtransformationen

- transformiertes Vektorpotential: $\vec{A}' = \vec{A} + \text{grad } \Lambda(\vec{r}, t)$
- transformiertes Skalarpotential: $\varphi' = \varphi - \frac{1}{c} \cdot \frac{\partial}{\partial t} \Lambda(\vec{r}, t)$

Die Potentiale müssen den folgenden Bedingungen genügen:

$$\Delta \vec{A} - \frac{1}{c^2} \cdot \frac{\partial^2 \vec{A}}{\partial t^2} - \text{grad} \left(\text{div } \vec{A} + \frac{1}{c} \cdot \frac{\partial \varphi}{\partial t} \right) = -\frac{4\pi}{c} \cdot \vec{J}$$

$$\Delta \varphi + \frac{1}{c} \cdot \frac{\partial}{\partial t} \text{div } \vec{A} = -4\pi \rho$$

- Lorenz-Eichung: \vec{A}', φ' mit Eichbedingung: $\text{div } \vec{A}' + \frac{1}{c} \cdot \frac{\partial \varphi'}{\partial t} = 0$
- Coulomb-Eichung: \vec{A}', φ' mit Eichbedingung: $\text{div } \vec{A}' = 0$

	Eichfunktion	Potentiale
Lorenz-Eichung	$\Delta \Lambda - \frac{1}{c^2} \cdot \frac{\partial^2}{\partial t^2} \Lambda = -\left(\text{div } \vec{A} + \frac{1}{c} \cdot \frac{\partial \varphi}{\partial t} \right)$	$\Delta \vec{A}' - \frac{1}{c^2} \cdot \frac{\partial^2}{\partial t^2} \vec{A}' = -\frac{4\pi}{c} \cdot \vec{J}$ $\Delta \varphi' - \frac{1}{c^2} \cdot \frac{\partial^2}{\partial t^2} \varphi' = -4\pi \rho$
Coulomb-Eichung	$\Delta \Lambda = -\text{div } \vec{A}$	$\Delta \vec{A}' - \frac{1}{c^2} \cdot \frac{\partial^2}{\partial t^2} \vec{A}' - \frac{1}{c} \cdot \text{grad } \frac{\partial \varphi'}{\partial t} = -\frac{4\pi}{c} \cdot \vec{J}$ $\Delta \varphi' = -4\pi \rho$

Greensche Funktion

- Problem: Suche Ψ in $L(x_1, \dots, x_n) \cdot \Psi(x_1, \dots, x_n) = f(x_1, \dots, x_n)$ mit dem Differentialoperator

$$L(x_1, \dots, x_n) = a + \sum_{i=1}^n a_i \cdot \frac{\partial}{\partial (x_i - x_{q,i})} + \sum_{i,j=1}^n a_{ij} \cdot \frac{\partial^2}{\partial (x_i - x_{q,i}) \partial (x_j - x_{q,j})} + \dots$$

- Greensche Funktion:

$$G(x_1, \dots, x_n) = G_0(x_1, \dots, x_n) + \frac{1}{(2\pi)^n} \cdot \int_{-\infty}^{\infty} dk_1 \dots \int_{-\infty}^{\infty} dk_n \cdot \frac{e^{i \cdot \sum_l k_l x_l}}{a + i \cdot \sum_l a_l \cdot k_l - \sum_{l,m} a_{lm} \cdot k_l k_m + \dots}$$

Hierbei löst $G_0(x_1, \dots, x_n)$ die Differentialgleichung $L \cdot G_0 = 0$.

- Lösung:

$$\Psi(x_1, \dots, x_n) = \Psi_0(x_1, \dots, x_n) + \int_{-\infty}^{\infty} dx'_1 \dots \int_{-\infty}^{\infty} dx'_n \cdot G(x_1 - x'_1, \dots, x_n - x'_n) \cdot f(x'_1, \dots, x'_n)$$

Hierbei löst $\Psi_0(x_1, \dots, x_n)$ die Differentialgleichung $L \cdot \Psi_0 = 0$.

Bestimmung von Vektorfeldern

- Problem: Suche $\vec{F}(\vec{r})$ für gegebenes $\text{div } \vec{F}(\vec{r})$ und $\text{rot } \vec{F}(\vec{r})$.
- Lösung:

$$\vec{F}(\vec{r}) = \vec{F}_{\text{hom}}(\vec{r}) + \frac{1}{4\pi} \cdot \iiint d^3r' \cdot \frac{\text{div } \vec{F}(\vec{r}') \cdot (\vec{r} - \vec{r}') + \text{rot } \vec{F}(\vec{r}') \times (\vec{r} - \vec{r}')}{|\vec{r} - \vec{r}'|^3}$$

Hierbei berücksichtigt die homogene Lösung $\vec{F}_{\text{hom}}(\vec{r})$ mit $\text{div } \vec{F}_{\text{hom}}(\vec{r}) = 0$ und $\text{rot } \vec{F}_{\text{hom}}(\vec{r}) = 0$ eventuelle Rand- und Anfangsbedingungen.

Punktladung

Situation: einzelne Punktladung q am Ort \vec{r}_q

- Potential: $\varphi(\vec{r}) = \frac{q}{|\vec{r}-\vec{r}_q|}$
- elektrisches Feld: $\vec{E}(\vec{r}) = \frac{q \cdot (\vec{r}-\vec{r}_q)}{|\vec{r}-\vec{r}_q|^3}$
- mehrere Punktladungen \rightarrow Coulomb-Wechselwirkung: $W_w = \frac{1}{2} \cdot \sum_{\alpha \neq \beta} \frac{q_\alpha \cdot q_\beta}{|\vec{r}_\alpha - \vec{r}_\beta|}$

Elektrischer Dipol

Situation: Anordnung zweier entgegengesetzter gleichgroßer Punktladungen $-q$ (am Ort \vec{r}_d) und $+q$ (am Ort $\vec{r}_d + \vec{a}$); Übergang zu $q \rightarrow \infty$ und $|\vec{a}| \rightarrow 0$ derart, dass das Dipolmoment $\vec{p} = q \cdot \vec{a}$ konstant bleibt

- Ladungsverteilung: $\varrho(\vec{r}) = \lim_{q \rightarrow \infty, \vec{a} \rightarrow 0} q \cdot [\delta(\vec{r} - (\vec{r}_d + \vec{a})) - \delta(\vec{r} - \vec{r}_d)] = -\vec{p} \cdot \text{grad}_r \delta(\vec{r} - \vec{r}_d)$
- Potential: $\varphi(\vec{r}) = -\vec{p} \cdot \text{grad}_r \frac{1}{|\vec{r}-\vec{r}_d|} = \frac{\vec{p} \cdot (\vec{r}-\vec{r}_d)}{|\vec{r}-\vec{r}_d|^3}$
- elektrisches Feld: $\vec{E}(\vec{r}) = 3 \cdot \frac{[\vec{p} \cdot (\vec{r}-\vec{r}_d)] \cdot (\vec{r}-\vec{r}_d)}{|\vec{r}-\vec{r}_d|^5} - \frac{\vec{p}}{|\vec{r}-\vec{r}_d|^3}$
- mehrere Dipole \rightarrow Dipoldichte: $\vec{P}(\vec{r}) = \sum_\alpha \vec{p}_\alpha \cdot \delta(\vec{r} - \vec{r}_\alpha)$
- (Gesamt)Dipolmoment: $\vec{p} = \iiint \vec{P}(\vec{r}) dV = \iiint \varrho(\vec{r}) \cdot \vec{r} dV$

Elektrischer Quadrupol

Situation: Anordnung zweier entgegengesetzter ausgerichteter Dipole $-\vec{p}$ (am Ort \vec{r}_q) und \vec{p} (am Ort $\vec{r}_q + \vec{d}$); Übergang zu $|\vec{p}| \rightarrow \infty$ und $|\vec{d}| \rightarrow 0$ derart, dass die Komp. des Q.momentes $q_{ij} = d_i \cdot p_j$ konstant bleiben

- Quadrupolmoment: $q_{ij} = \frac{1}{2} \cdot \iiint \varrho(\vec{r}) \cdot x_i \cdot x_j dV$
 - Quadrupoltensor: $Q_{ij} = 3 \cdot q_{ij} - \delta_{ij} \cdot \sum_{l=1}^3 q_{ll} = \frac{1}{2} \iiint \varrho(\vec{r}) \cdot [3x_i \cdot x_j - |\vec{r} - \vec{r}_q|^2 \cdot \delta_{ij}] dV$
- Beachte:* Quadrupolmoment und -tensor sind symmetrisch, Spur von \vec{Q} verschwindet
- Ladungsverteilung: $\varrho(\vec{r}) = -\vec{p} \cdot [\text{grad}_r \delta(\vec{r} - (\vec{r}_q + \vec{d})) - \text{grad}_r \delta(\vec{r} - \vec{r}_q)] = \sum_{i,j} q_{ij} \cdot \frac{\partial^2}{\partial x_i \partial x_j} \delta(\vec{r} - \vec{r}_q)$
 - Potential: $\varphi(\vec{r}) = \sum_{i,j} q_{ij} \cdot \left[\frac{3(x_i - x_{q,i}) \cdot (x_j - x_{q,j})}{|\vec{r} - \vec{r}_q|^5} - \frac{\delta_{ij}}{|\vec{r} - \vec{r}_q|^3} \right] = \sum_{i,j} Q_{ij} \cdot \frac{(x_i - x_{q,i}) \cdot (x_j - x_{q,j})}{|\vec{r} - \vec{r}_q|^5}$

Allgemeine ruhende Ladungsverteilung

- Potential: $\varphi(\vec{r}) = \iiint d^3r' \cdot \frac{\varrho(\vec{r}')}{|\vec{r}-\vec{r}'|} + \varphi_{\text{hom}}(\vec{r})$
- elektrisches Feld: $\vec{E}(\vec{r}) = \iiint d^3r' \cdot \frac{\varrho(\vec{r}') \cdot (\vec{r}-\vec{r}')}{|\vec{r}-\vec{r}'|^3} + \vec{E}_{\text{hom}}(\vec{r})$
- Verschiebungsarbeit: $A = - \int_{\vec{r}_1}^{\vec{r}_2} \vec{K} \cdot d\vec{r} = q \cdot [\varphi(\vec{r}_2) - \varphi(\vec{r}_1)]$ für eine Probeladung q von \vec{r}_1 nach \vec{r}_2
- Wechselwirkungsenergie im el. Feld: $W_{\text{el}} = \frac{1}{2} \cdot \iiint_V \varrho(\vec{r}) \cdot \varphi(\vec{r}) dV$ (φ des Felderzeugers, ϱ der Probe)
- Kraft: $\vec{K} = \iiint \varrho(\vec{r}) \cdot \vec{E}(\vec{r}) d^3r$
- Drehmoment um Koordinatenursprung: $\vec{M} = \iiint \vec{r} \times \varrho(\vec{r}) \cdot \vec{E}(\vec{r}) d^3r$

Multipolentwicklung einer Ladungsverteilung um $\vec{r} = 0$ für weit entfernten Betrachter

- Potential: $\varphi(\vec{r}) = \frac{q}{r} + \frac{\vec{p} \cdot \vec{r}}{r^3} + \sum_{i,j} \frac{Q_{ij} \cdot x_i x_j}{r^5}$ (bei Abbruch nach der $1/r^3$ -Ordnung)
- Kraft: $\vec{K} = q \cdot \vec{E}(\vec{r} = 0) + (\vec{p} \cdot \text{grad}_r) \vec{E} \Big|_{\vec{r}=0} + \sum_{i,j} q_{ij} \cdot \frac{\partial^2}{\partial x_i \partial x_j} \vec{E} \Big|_{\vec{r}=0}$ (\vec{E} ändere sich über ϱ nur langsam)
- Drehmoment: $\vec{M} = p \times \vec{E}(\vec{r} = 0) + 2 \cdot \sum_{i,j} \vec{e}_i \cdot q_{ij} \cdot \frac{\partial}{\partial x_j} \times \vec{E} \Big|_{\vec{r}=0}$
- Gesamtladung q wie üblich, Dipol- und Quadrupolmoment wie oben über Ladungsverteilung definiert

Die Verwendung dieses Kompodiums für Klausuren und andere Prüfungen ist nicht gestattet.

Stromfäden

Situation: Entlang eines geschlossenen Weges φ (umschließend die Fläche S) fließt ein Strom I , welcher in allen Querschnitten des Leiters tangential zur Bewegungsrichtung gleich ist.

- Potential: $\vec{A}(\vec{r}) = \frac{I}{c} \cdot \oint_{\varphi} \frac{d\vec{r}'}{|\vec{r}-\vec{r}'|} = -\frac{I}{c} \cdot \iint_S d\vec{f}' \times \text{grad}_r \frac{1}{|\vec{r}-\vec{r}'|}$
- magnetisches Feld: $\vec{B}(\vec{r}) = \frac{I}{c} \cdot \oint_{\varphi} \frac{d\vec{r}' \times (\vec{r}-\vec{r}')}{|\vec{r}-\vec{r}'|^3}$
- magnetischer Fluss im Faden α durch Feld anderer Fäden: $\Phi_{\alpha} = c \cdot \sum_{\beta} I_{\beta} \cdot L_{\alpha\beta}$ mit $\beta \neq \alpha$
- Wechselwirkung mehrerer Stromfäden: $W_{\text{magn}} = \sum_{\alpha \neq \beta} \frac{I_{\alpha} \cdot I_{\beta}}{2} \cdot L_{\alpha\beta} = \frac{1}{2c} \cdot \sum_{\alpha} \Phi_{\alpha} \cdot I_{\alpha}$
- Induktionskoeffizienten: $L_{\alpha\beta} = \frac{1}{c^2} \cdot \oint_{\varphi_{\alpha}} \oint_{\varphi_{\beta}} \frac{d\vec{r}_{\alpha} \cdot d\vec{r}_{\beta}}{|\vec{r}_{\alpha}-\vec{r}_{\beta}|}$
- Kraft durch den Faden α auf β : $\vec{K}_{\beta \leftarrow \alpha} = \frac{I_{\alpha} \cdot I_{\beta}}{c^2} \cdot \oint_{\varphi_1} \oint_{\varphi_2} \frac{d\vec{r}_{\beta} \times [d\vec{r}_{\alpha} \times (\vec{r}_{\beta}-\vec{r}_{\alpha})]}{|\vec{r}_{\beta}-\vec{r}_{\alpha}|^3} = -\frac{I_{\alpha} \cdot I_{\beta}}{c^2} \cdot \oint_{\varphi_1} \oint_{\varphi_2} \frac{\vec{r}_{\beta}-\vec{r}_{\alpha}}{|\vec{r}_{\beta}-\vec{r}_{\alpha}|^3} d\vec{r}_{\alpha} d\vec{r}_{\beta}$

Magnetischer Dipol

Situation: Stromfäden wie oben am Ort \vec{r}_m ; Übergang zu $S \rightarrow 0$ und $I \rightarrow \infty$ derart, dass das magnetische Moment $\vec{m} = \frac{I}{c} \cdot \iint_S d\vec{f}$ konstant bleibt

- Potential: $\vec{A}(\vec{r}) = -\vec{m} \times \text{grad}_r \frac{1}{|\vec{r}-\vec{r}_m|} = \vec{m} \times \frac{\vec{r}-\vec{r}_m}{|\vec{r}-\vec{r}_m|^3}$
- magnetisches Feld: $\vec{B}(\vec{r}) = 3 \cdot \frac{[(\vec{r}-\vec{r}_m) \cdot \vec{m}] \cdot (\vec{r}-\vec{r}_m)}{|\vec{r}-\vec{r}_m|^5} - \frac{\vec{m}}{|\vec{r}-\vec{r}_m|^3}$
- mehrere Dipole \rightarrow Dipoldichte: $\vec{M}(\vec{r}) = \sum_{\alpha} \vec{m}_{\alpha} \cdot \delta(\vec{r}-\vec{r}_{\alpha})$
- Gesamtdipolmoment: $\vec{m} = \iiint d^3r \cdot \vec{M}(\vec{r}) = \sum_{\alpha} \vec{m}_{\alpha}$
- Potential einer Dipolverteilung: $\vec{A}(\vec{r}) = -\iiint d^3r' \cdot \vec{M}(\vec{r}') \times \text{grad}_r \frac{1}{|\vec{r}-\vec{r}'|}$
- Stromdichte einer Dipolverteilung: $\vec{j}(\vec{r}) = c \cdot \text{rot } \vec{M}(\vec{r}) = c \cdot \sum_{\alpha} \vec{m}_{\alpha} \times \text{grad } \delta(\vec{r}-\vec{r}_{\alpha})$
- Wechselw.energie einer Dipolv.: $W_m = \frac{1}{2} \cdot \sum_{\alpha \neq \beta} \vec{m}_{\alpha} \cdot \vec{B}_{\beta}(\vec{r}_{\alpha}) = \sum_{\alpha \neq \beta} \frac{1}{2 \cdot r_{\alpha\beta}^3} \cdot \left[3 \cdot \frac{(\vec{r}_{\alpha\beta} \cdot \vec{m}_{\alpha}) \cdot (\vec{r}_{\alpha\beta} \cdot \vec{m}_{\beta})}{r_{\alpha\beta}^2} - \vec{m}_{\alpha} \cdot \vec{m}_{\beta} \right]$

Allgemeine ruhende Stromverteilung

- Potential: $\vec{A}(\vec{r}) = \frac{1}{c} \cdot \iiint d^3r' \cdot \frac{\vec{j}(\vec{r}')}{|\vec{r}-\vec{r}'|} + \vec{A}_{\text{hom}}(\vec{r})$
- magnetisches Feld: $\vec{B}(\vec{r}) = \frac{1}{c} \cdot \iiint d^3r' \cdot \frac{\vec{j}(\vec{r}') \times (\vec{r}-\vec{r}')}{|\vec{r}-\vec{r}'|^3} + \vec{B}_{\text{hom}}(\vec{r})$
- Wechselwirkungsenergie im magn. Feld: $W_{\text{magn}} = \frac{1}{2c} \cdot \iiint_V \vec{j}(\vec{r}) \cdot \vec{A}(\vec{r}) dV$ (\vec{A} des Felderzeugers, \vec{j} der Probe)
- Kraft: $\vec{K} = \iiint \vec{j}(\vec{r}) \times \vec{B}(\vec{r}) d^3r$
- Drehmoment um Koordinatenursprung: $\vec{M} = \iiint \vec{r} \times [\vec{j}(\vec{r}) \times \vec{B}(\vec{r})] d^3r$

Multipolentwicklung einer Stromverteilung um $\vec{r} = 0$ für weit entfernten Betrachter

- Dipolmoment der Stromverteilung: $\vec{m} = \frac{1}{2c} \cdot \iiint_V d^3r' \cdot [\vec{r}' \times \vec{j}(\vec{r}')]]$
- Potential: $\vec{A}(\vec{r}) = \vec{m} \times \frac{\vec{r}}{r^3}$ (bei Abbruch nach der $1/r^3$ -Ordnung)
- magnetisches Feld: $\vec{B}(\vec{r}) = 3 \cdot \frac{(\vec{r} \cdot \vec{m}) \cdot \vec{r}}{r^5} - \frac{\vec{m}}{r^3}$
- Kraft: $\vec{K} = \text{grad} \left[\vec{B}(\vec{r}) \cdot \vec{m} \right]_{\vec{r}=0}$
- Drehmoment um Koordinatenursprung: $\vec{M} = \vec{m} \times \vec{B}(\vec{r}=0)$

Operatoren

- Viererdivergenz-Operator: $\partial_\mu = \frac{d}{dx^\mu}$ und $\partial^\mu = \frac{d}{dx_\mu}$
- D'Alembert-Operator: $\square = \partial^\nu \partial_\nu = \frac{1}{c^2} \cdot \frac{d^2}{dt^2} - \Delta$

Grundgrößen und -gleichungen

	Kontravariante Größe	Kovariante Größe
Vierervektor der Stromdichte	$J^\mu = (c \cdot \rho, \vec{j})$	$J_\mu = (c \cdot \rho, -\vec{j})$
Viererpotential	$\Phi^\mu = (\varphi, \vec{A})$	$\Phi_\mu = (\varphi, -\vec{A})$
Feldstärketensor	$F^{\nu\mu} = \partial^\mu \Phi^\nu - \partial^\nu \Phi^\mu$	$F_{\nu\mu} = \partial_\mu \Phi_\nu - \partial_\nu \Phi_\mu$

- Kontinuitätsgleichung: $\partial_\mu J^\mu = 0$
- Bestimmungsgleichung für das Potential: $\square \Phi^\mu = \frac{4\pi}{c} J^\mu$
- homogene Maxwellgleichungen: $\partial_\lambda F_{\nu\mu} + \partial_\nu F_{\mu\lambda} + \partial_\mu F_{\lambda\nu} = 0$
- inhomogene Maxwellgleichungen: $\partial_\mu F^{\nu\mu} = \frac{4\pi}{c} J^\nu$

Relativistische Mechanik

	Kontravariante Größe	Kovariante Größe
Viererkraftdichte	$f^\mu = \left(\frac{\vec{v}}{c} \cdot \vec{k}, \vec{k}\right)$	$f_\mu = \left(\frac{\vec{v}}{c} \cdot \vec{k}, -\vec{k}\right)$
Viererkraft	$F^\mu = \gamma \cdot \left(\frac{\vec{v}}{c} \cdot \vec{K}, \vec{K}\right)$	$F_\mu = \gamma \cdot \left(\frac{\vec{v}}{c} \cdot \vec{K}, -\vec{K}\right)$
Energie-Impuls-Tensor	$T^{\nu\mu} = \frac{1}{4\pi} \cdot \left(g_{\lambda\sigma} \cdot F^{\sigma\nu} \cdot F^{\lambda\mu} - \frac{1}{4} \cdot g^{\mu\nu} \cdot F_{\lambda\sigma} \cdot F^{\lambda\sigma}\right)$	

- Bewegungsgleichung: $m_0 \cdot \frac{du^\mu}{d\tau} = F^\mu$ mit Eigenzeit $d\tau = \frac{dt}{\gamma}$ und Vierergeschwindigkeit $u^\mu = \gamma \cdot (c, \vec{v})$
- Viererkraftdichte: $f^\nu = \frac{1}{c} \cdot J_\mu \cdot F^{\mu\nu} = \partial_\mu T^{\nu\mu}$ (liefert Energiebilanz für $\nu = 0$)

Transformation von Feldern

Das Bezugssystem Σ' bewege sich gegen das Bezugssystem Σ mit \vec{v} .

- Transformation von Feldkomponenten parallel zu \vec{v} : $\vec{E}'_{\parallel} = \vec{E}_{\parallel}$ und $\vec{B}'_{\parallel} = \vec{B}_{\parallel}$
- Transformation von Feldkomponenten senkrecht zu \vec{v} : $\vec{E}'_{\perp} = \gamma \cdot \left(\vec{E}_{\perp} + \frac{\vec{v}}{c} \times \vec{B}\right)$ und $\vec{B}'_{\perp} = \gamma \cdot \left(\vec{B}_{\perp} - \frac{\vec{v}}{c} \times \vec{E}\right)$

Matrixdarstellungen

$$F^{\mu\nu} = \begin{pmatrix} 0 & E_x & E_y & E_z \\ -E_x & 0 & B_z & -B_y \\ -E_y & -B_z & 0 & B_x \\ -E_z & B_y & -B_x & 0 \end{pmatrix} \quad T^{\mu\nu} = \begin{pmatrix} -w & -\frac{1}{c} \cdot S_x & -\frac{1}{c} \cdot S_y & -\frac{1}{c} \cdot S_z \\ -\frac{1}{c} \cdot S_x & T_{xx} & T_{xy} & T_{xz} \\ -\frac{1}{c} \cdot S_y & T_{yx} & T_{yy} & T_{yz} \\ -\frac{1}{c} \cdot S_z & T_{zx} & T_{zy} & T_{zz} \end{pmatrix}$$

$$F_{\mu\nu} = \begin{pmatrix} 0 & -E_x & -E_y & -E_z \\ E_x & 0 & B_z & -B_y \\ E_y & -B_z & 0 & B_x \\ E_z & B_y & -B_x & 0 \end{pmatrix} \quad T_{\mu\nu} = \begin{pmatrix} -w & \frac{1}{c} \cdot S_x & \frac{1}{c} \cdot S_y & \frac{1}{c} \cdot S_z \\ \frac{1}{c} \cdot S_x & T_{xx} & T_{xy} & T_{xz} \\ \frac{1}{c} \cdot S_y & T_{yx} & T_{yy} & T_{yz} \\ \frac{1}{c} \cdot S_z & T_{zx} & T_{zy} & T_{zz} \end{pmatrix}$$

Die Größen in den Matrizen sind alle wie auf den vorhergehenden Seiten.

Retardierte Potentiale

- skalares Potential: $\varphi(\vec{r}, t) = \iiint d^3r' \frac{\rho\left(\vec{r}', t - \frac{|\vec{r} - \vec{r}'|}{c}\right)}{|\vec{r} - \vec{r}'|}$
- Vektorpotential: $\vec{A}(\vec{r}, t) = \iiint d^3r' \frac{\vec{j}\left(\vec{r}', t - \frac{|\vec{r} - \vec{r}'|}{c}\right)}{|\vec{r} - \vec{r}'|}$

Multipolentwicklung eines Strahlungsfeldes

Gegeben sei eine lokalisierte Strom- und Ladungsverteilung um $\vec{r} = 0$ mit weit entferntem Beobachter.

- Skalarpotential: $\varphi(\vec{r}, t) = -\text{div} \left[\frac{1}{r} \cdot \left(\vec{p}(t') + \vec{m}(t') \times \vec{e}_r + \frac{1}{c} \cdot \dot{\vec{q}}(t') \cdot \vec{e}_r \right) \right] + \text{const.}(\vec{r})$
- Vektorpotential: $\vec{A}(\vec{r}, t) = \frac{1}{cr} \cdot \left(\dot{\vec{p}}(t') + \dot{\vec{m}}(t') \times \vec{e}_r + \frac{1}{c} \cdot \ddot{\vec{q}}(t') \cdot \vec{e}_r \right)$ mit $t' = t - \frac{r}{c}$
- magnetisches Feld: $\vec{B}(\vec{r}, t) = \frac{1}{c^2 r} \cdot \left[\left(\ddot{\vec{p}}(t') \times \vec{e}_r \right) \times \vec{e}_r + \vec{e}_r \times \ddot{\vec{m}}(t') + \frac{1}{3c} \cdot \left(\ddot{\vec{Q}}(t') \cdot \vec{e}_r \times \vec{e}_r \right) \times \vec{e}_r \right]$
- elektrisches Feld: $\vec{E}(\vec{r}, t) = \frac{1}{c^2 r} \cdot \left[\ddot{\vec{p}}(t') \times \vec{e}_r + \left(\ddot{\vec{m}}(t') \times \vec{e}_r \right) \times \vec{e}_r + \frac{1}{3c} \cdot \left(\ddot{\vec{Q}}(t') \cdot \vec{e}_r \times \vec{e}_r \right) \right]$
- Zusammenhang zwischen den Feldern: $\vec{E} = \vec{e}_r \times \vec{B}$ und $\vec{B} = \vec{E} \times \vec{e}_r$

Liénard-Wiechert-Potentiale

Eine Punktladung q bewege sich auf der Bahnkurve $\vec{r}_q(t)$ mit der Geschwindigkeit $\vec{v}_q(t) = \frac{d}{dt} \vec{r}_q(t)$. Es werden die Abkürzungen $\vec{R}(t) = \vec{r} - \vec{r}_q(t)$ und $t' = t - \frac{|\vec{R}(t')|}{c}$ verwendet.

- Potentiale: $\varphi(\vec{r}, t) = \frac{q}{|\vec{R}(t')| - \frac{1}{c} \cdot \vec{R}(t') \cdot \vec{v}_q(t')}$ und $\vec{A}(\vec{r}, t) = \frac{q \cdot \vec{v}_q(t')}{c \cdot |\vec{R}(t')| - \vec{R}(t') \cdot \vec{v}_q(t')}$
- Felder: $\vec{B}(\vec{r}, t) = \frac{\vec{R}(t')}{|\vec{R}(t')|} \times \vec{E}(\vec{r}, t)$ und $\vec{E}(\vec{r}, t) = q \cdot \left[\left[|\vec{R}(t')| - \frac{\vec{v}_q(t') \cdot \vec{R}(t')}{c} \right]^{-3} \cdot \left[\left(1 - \frac{\vec{v}_q(t')^2}{c^2} \right) \cdot \left(\vec{R}(t') - \frac{\vec{v}_q(t') \cdot \vec{R}(t')}{c} \right) + \frac{1}{c^2} \cdot \vec{R}(t') \times \left[\left(\vec{R}(t') - \frac{\vec{v}_q(t') \cdot \vec{R}(t')}{c} \right) \times \dot{\vec{v}}_q(t') \right] \right]$

Materialgrößen

- Polarisation: $\vec{P} = \vec{\chi}_e \cdot \vec{E}$ mit elektrischer Suszeptibilität $\vec{\chi}_e$
- dielektrische Verschiebung: $\vec{D} = \vec{E} + 4\pi \cdot \vec{P} = \vec{\epsilon} \cdot \vec{E}$ mit Dielektrizitätskonstante $\vec{\epsilon} = \vec{1} + 4\pi \cdot \vec{\chi}_e$
- Magnetisierung: $\vec{M} = \vec{\chi}_m \cdot \vec{H}$ mit magnetischer Suszeptibilität $\vec{\chi}_m$
- Magnetfeld: \vec{H} mit $\vec{B} = \vec{H} + 4\pi \cdot \vec{M} = \vec{\mu} \cdot \vec{H}$ mit Permeabilität $\vec{\mu} = \vec{1} + 4\pi \cdot \vec{\chi}_m$
- Leitfähigkeit: $\vec{\sigma}$ mit $\vec{j} = \vec{\sigma} \cdot \vec{E}$ (nicht für Supraleiter)

Maxwellgleichungen in Materie

$\text{rot } \vec{E} = -\frac{1}{c} \cdot \frac{\partial \vec{B}}{\partial t}$	Faradaysches Induktionsgesetz
$\text{div } \vec{D} = 4\pi \cdot \rho$	Gaußsches Durchflutungsgesetz
$\text{rot } \vec{H} = \frac{1}{c} \cdot \frac{\partial \vec{D}}{\partial t} + \frac{4\pi}{c} \cdot \vec{j}$	Durchflutungsgesetz von Oersted und Ampère
$\text{div } \vec{B} = 0$	Ausschluss magnetischer Monopole

Wichtige Folgerungen

- Dispersionsrelation für Wellen: $\omega = \frac{c}{\sqrt{\epsilon \cdot \mu}} \cdot |\vec{k}|$
- Feld eines Permanentmagneten: $\vec{H} = -\text{grad } \phi$ mit $\phi = -\int_{-\infty}^{\infty} d^3r' \frac{\text{div } \vec{M}(\vec{r}')}{|\vec{r}-\vec{r}'|} = \iint_{S(V)} d\vec{f}' \cdot \frac{\vec{M}(\vec{r}')}{|\vec{r}-\vec{r}'|} - \int_V d^3r' \frac{\text{div } \vec{M}(\vec{r}')}{|\vec{r}-\vec{r}'|}$
- Energiebilanz: $\text{div } \vec{S} + \frac{\partial}{\partial t} (w_{\text{el}} + w_{\text{magn}}) = -\sigma \cdot \vec{E}^2$
Hierbei sind
- $\vec{S} = \frac{c}{4\pi} \cdot \vec{E} \times \vec{H}$ der Poynting-Vektor
- $w_{\text{el}} = \frac{\epsilon}{8\pi} \cdot \vec{E}^2$ die elektrische Feldenergie
- $w_{\text{magn}} = \frac{\mu}{8\pi} \cdot \vec{H}^2$ die magnetische Feldenergie

Grenzbedingungen

An der Grenzfläche (Flächennormale \vec{n} , beliebige Tangente \vec{t}) zwischen zwei Materialien gilt:

- $\vec{n} \cdot (\vec{D}_2 - \vec{D}_1) = 4\pi \cdot \rho_F$ – Die Normalkomponenten des \vec{D} -Feldes sind unstetig.
- $\vec{t} \cdot (\vec{E}_2 - \vec{E}_1) = 0$ – Die Tangentialkomponenten des \vec{E} -Feldes sind stetig.
- $\vec{n} \cdot (\vec{B}_2 - \vec{B}_1) = 0$ – Die Normalkomponenten des \vec{B} -Feldes sind stetig.
- $\vec{t} \cdot (\vec{H}_2 - \vec{H}_1) = \frac{4\pi}{c} \cdot \vec{j}_F \cdot \vec{t}$ – Die Tangentialkomponenten des \vec{H} -Feldes sind unstetig.

Hierbei sind ρ_F und \vec{j}_F die Flächenladungs- bzw. Flächenstromdichte auf der Oberfläche.

Bauteilparameter

- Widerstand eines Leiters: $R = \frac{l}{\sigma \cdot A}$ (Länge l , Querschnitt A)
- elektromotorische Kraft einer Stromquelle: $\varepsilon = \int_{-}^{+} \vec{E}^{(e)} \cdot d\vec{r}$ (Integral der eingprägten Kraft der Quelle)
- Ohmsches Gesetz bei Anwesenheit von Stromquellen: $\vec{j} = \vec{\sigma} \cdot (\vec{E} + \vec{E}^{(e)})$

Sätze für Stromkreise

Ein Stromkreisnetzwerk enthalte nur Stromquellen und Widerstände.

- Knotensatz: $\sum I = 0$
- Maschensatz: $\sum R \cdot I = \sum \varepsilon$
- Energiesatz: $\sum R \cdot I^2 = \sum \varepsilon \cdot I$

Kapazität

- Kapazität eines Leiters: $C = \frac{Q}{\varphi_0}$ (φ_0 auf der Leiteroberfläche)
- Kapazitätskoeffizienten eines Systems von Leitern: $Q_\alpha = \sum_\beta C_{\alpha\beta} \cdot \varphi_\beta$
- Kapazität eines Kondensators: $C = \frac{Q}{\varphi_1 - \varphi_2}$ (Q auf einem der beiden Leiter, φ_i auf den Leiteroberflächen)
- elektrische Energie: $W_{\text{el}} = \frac{1}{2} \cdot \sum_{\alpha,\beta} C_{\alpha\beta} \cdot \varphi_\alpha \cdot \varphi_\beta$